

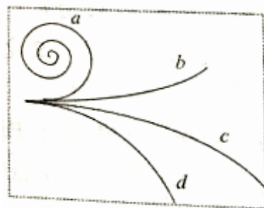
## 2015年普通高等学校招生全国统一考试（重庆卷）

### 理综试题

### 物理

一.选择题（本大题共5个小题，每小题6分，共30分。在每小题给出的四个备选项中，只有一项符合题目要求）

1. 题1图中曲线a、b、c、d为气泡室中某放射物质发生衰变放出的部分粒子的经迹，气泡室中磁感应强度方向垂直纸面向里。以下判断可能正确的是



题1图

A. a、b为 $\beta$ 粒子的经迹    B. a、b为 $\gamma$ 粒子的经迹    C. c、d为 $\alpha$ 粒子的经迹    D. c、d为 $\beta$ 粒子的经迹

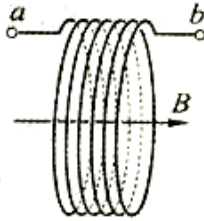
2. 宇航员王亚平在“天宫1号”飞船内进行了我国首次太空授课，演示了一些完全失重状态下的物理现象。若飞船质量为 $m$ ，距地面高度为 $h$ ，地球质量为 $M$ ，半径为 $R$ ，引力常量为 $G$ ，则飞船所在处的重力加速度大小为

A. 0    B.  $\frac{GM}{(R+h)^2}$     C.  $\frac{GMm}{(R+h)^2}$     D.  $\frac{GM}{h^2}$

3. 高空作业须系安全带. 如果质量为 $m$ 的高空作业人员不慎跌落, 从开始跌落到安全带对人刚产生作用力前人下落的距离为 $h$ （可视为自由落体运动）. 此后经历时间 $t$ 安全带达到最大伸长, 若在此过程中该作用力始终竖直向上. 则该段时间安全带对人的平均作用力大小为

A.  $\frac{m\sqrt{2gh}}{t} + mg$     B.  $\frac{m\sqrt{2gh}}{t} - mg$     C.  $\frac{m\sqrt{gh}}{t} + mg$     D.  $\frac{m\sqrt{gh}}{t} - mg$

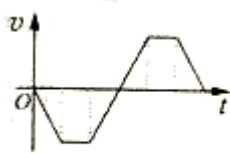
4. 题4图为无线充电技术中使用的受电线圈示意图, 线圈匝数为 $n$ , 面积为 $S$ . 若在 $t_1$ 到 $t_2$ 时间内, 匀强磁场平行于线圈轴线向右穿过线圈, 其磁感应强度大小由 $B_1$ 均匀增加到 $B_2$ , 则该段时间线圈两端a和b之间的电势差 $\varphi_a - \varphi_b$



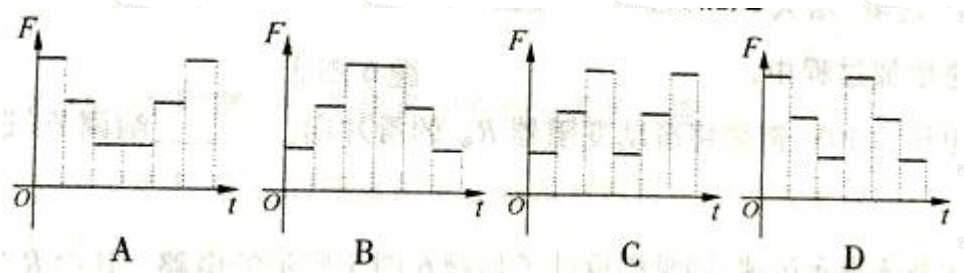
题4图

- A. 恒为  $\frac{nS(B_2 - B_1)}{t_2 - t_1}$
- B. 从0均匀变化到  $\frac{nS(B_2 - B_1)}{t_2 - t_1}$
- C. 恒为  $-\frac{nS(B_2 - B_1)}{t_2 - t_1}$
- D. 从0均匀变化到  $-\frac{nS(B_2 - B_1)}{t_2 - t_1}$

5. 若货物随升降机运动的  $v-t$  图像如题5图所示 (竖直向上为正)。则货物受到升降机的支持力  $F$  与时间  $t$  关系的图像可能是



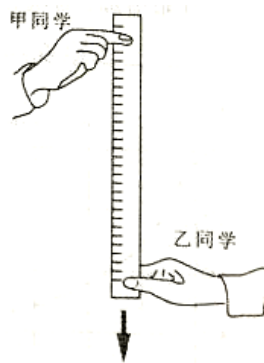
题5图



二、非选择题 (本大题共4小题, 共68分)

6. (19分)

(1) 同学们利用如题6图1所示方法估测反应时间。



题6图1

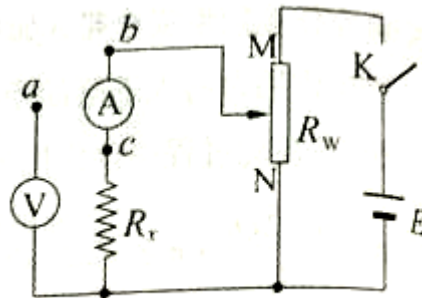
首先, 甲同学捏住直尺上端, 使直尺保持竖直状态, 直尺零刻度线位于乙同学的两指之间。当乙看见甲放开直尺时, 立即用手指捏直尺, 若捏住位置的刻度读数为  $x$ , 则乙同学的反应时间为\_\_\_\_\_ (重力加速度为  $g$ )。

基于上述原理, 某同学用直尺制作测量反应时间的工具, 若测量范围为  $0 \sim 0.4s$ , 则所用直尺的长度

至少为\_\_\_\_\_cm ( $g$  取  $10\text{m/s}^2$ )；若以相等时间间隔在该直尺的另一面标记出表示反应时间的刻度线，则每个时间间隔在直尺上对应的长度是\_\_\_\_\_的(选填“相等”或“不相等”)。

(2)同学们测量某电阻丝的电阻  $R_x$ ，所用电流表的内阻与  $R_x$  相当，电压表可视为理想电压表。

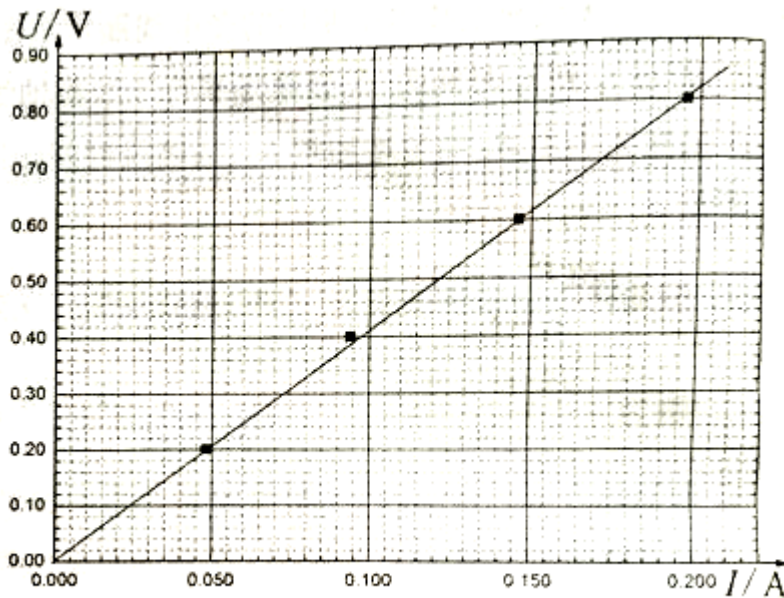
①若使用题 6 图 2 所示电路图进行实验，要使得  $R_x$  的测量值更接近真实值，电压表的  $a$  端应连接到电路的 \_\_\_\_\_点(选填“ $b$ ”或“ $c$ ”)。



题 6 图 2

②测得电阻丝的  $U-I$  图如题 6 图 3 所示，则  $R_x$  为\_\_\_\_\_  $\Omega$  (保留两位有效数字)。

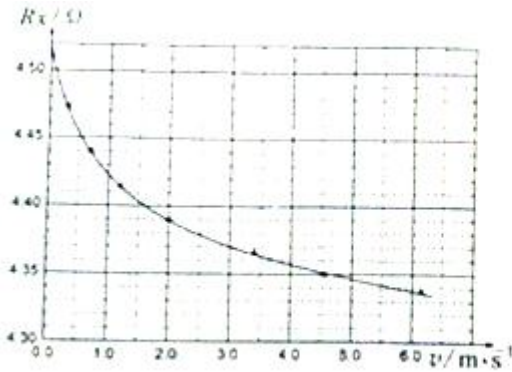
③实验中，随电压进一步增加电阻丝逐渐进入炽热状态. 某同学发现对炽热电阻丝吹气，其阻值会变化. 他们对此现象进行探究，在控制电阻丝两端的电压为  $10\text{V}$  的条件下，得到电阻丝的电阻  $R_x$  随风速  $v$  (用风速计测) 的变化关系如题 6 图 4 所示. 由图可知当风速增加时， $R_x$  会\_\_\_\_\_ (选填“增大”或“减小”)。当风速增加过程中，为保持电阻丝两端电压为  $10\text{V}$ ，需要将滑动变阻器  $R_w$  的滑片向\_\_\_\_\_ (选填“ $M$ ”或“ $N$ ”)。



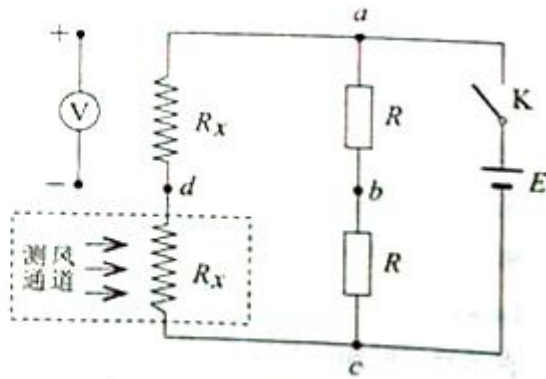
题 6 图 3

④为了通过电压表的示数来显示风速，同学们设计了如题 6 图 5 所示的电路. 其中  $R$  为两只阻值相同

的电阻,  $R_x$  为两根相同的电阻丝, 一根置于气流中, 另一根不受气流影响,  $\text{V}$  为待接入的理想电压表。如果要求在测量中, 风速从零开始增加, 电压表的示数也从零开始增加, 则电压表的“+”端和“—”端应分别连接到电路中的\_\_\_\_\_点和\_\_\_\_\_点(在“a”“b”“c”“d”中选填)。



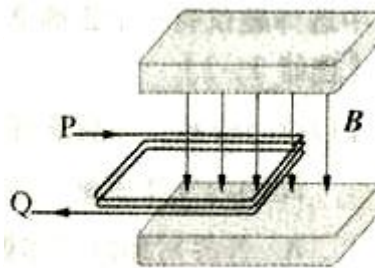
题6图4



题6图5

7. (15分) 音圈电机是一种应用于硬盘、光驱等系统的特殊电动机。题7图是某音圈电机的原理示意图, 它由一对对正的磁极和一个正方形刚性线圈构成, 线圈边长为  $L$ , 匝数为  $n$ , 磁极正对区域内的磁感应强度方向垂直于线圈平面竖直向下, 大小为  $B$ , 区域外的磁场忽略不计。线圈左边始终在磁场外, 右边始终在磁场内, 前后两边在磁场内的长度始终相等。某时刻线圈中电流从 P 流向 Q, 大小为  $I$ 。

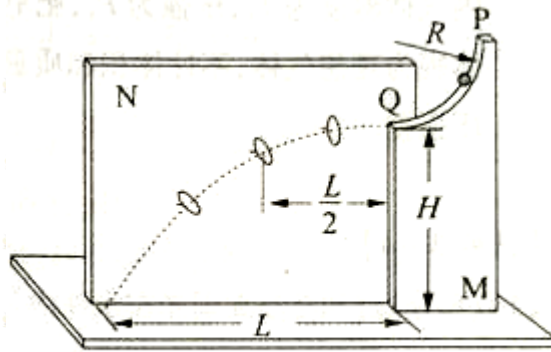
- (1) 求此时线圈所受安培力的大小和方向。
- (2) 若此时线圈水平向右运动的速度大小为  $v$ , 求安培力的功率。



题7图

8. (16分) 同学们参照伽利略时期演示平抛运动的方法制作了如题8图所示的实验装置. 图中水平放置的底板上竖直地固定有 M 板和 N 板. M 板上部有一半径为  $R$  的  $\frac{1}{4}$  圆弧形粗糙轨道, P 为最高点, Q 为最低点, Q 点处的切线水平, 距底板高为  $H$ 。N 板上固定有三个圆环。将质量为  $m$  的小球从 P 处静止释放, 小球运动至 Q 飞出后无阻碍地通过各圆环中心, 落到底板上距 Q 水平距离为  $L$  处。不考虑空气阻力, 重力加速度为  $g$ 。求:

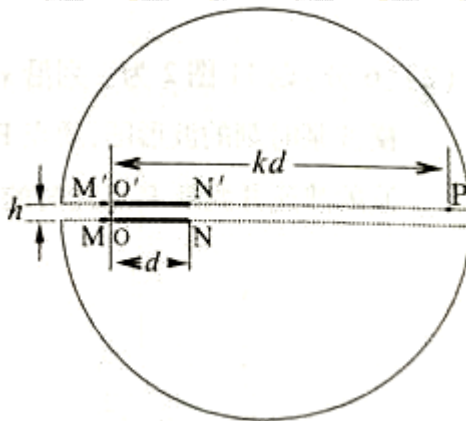
- (1) 距 Q 水平距离为  $\frac{L}{2}$  的圆环中心到底板的高度;
- (2) 小球运动到 Q 点时速度的大小以及对轨道压力的大小和方向;
- (3) 摩擦力对小球做的功。



题 8 图

9. (18 分) 题 9 图为某种离子加速器的设计方案. 两个半圆形金属盒内存在相同的垂直于纸面向外的匀强磁场. 其中  $MN$  和  $M'N'$  是间距为  $h$  的两平行极板, 其上分别有正对的两个小孔  $O$  和  $O'$ ,  $O'N'=ON=d$ ,  $P$  为靶点,  $O'P=kd$  ( $k$  为大于 1 的整数). 极板间存在方向向上的匀强电场, 两极板间电压为  $U$ . 质量为  $m$ 、带电量为  $q$  的正离子从  $O$  点由静止开始加速, 经  $O'$  进入磁场区域. 当离子打到极板上  $O'N'$  区域 (含  $N'$  点) 外壳上时将会被吸收. 两虚线之间的区域无电场和磁场存在, 离子可匀速穿过. 忽略相对论效应和离子所受的重力. 求:

- (1) 离子经过电场仅加速一次后能打到  $P$  点所需的磁感应强度大小;
- (2) 能使离子打到  $P$  点的磁感应强度的所有可能值;
- (3) 打到  $P$  点的能量最大的离子在磁场汇总运动的时间和在电场中运动的时间.



10. [选修 3-3]

(1) (6 分) 某驾驶员发现中午时车胎内的气压高于清晨时的, 且车胎体积增大. 若这段时间胎内气体质量不变且可视为理想气体, 那么

- A. 外界对胎内气体做功, 气体内能减小
- B. 外界对胎内气体做功, 气体内能增大
- C. 胎内气体对外界做功, 内能减小
- D. 胎内气体对外界做功, 内能增大

(2) (6 分) 北方某地的冬天室外气温很低, 吹出的肥皂泡会很快冻结. 若刚吹出时肥皂泡内气体温度为  $T_1$ , 压强为  $P_1$ , 肥皂泡冻住后泡内气体温度降为  $T_2$ . 整个过程中泡内气体视为理想气体, 不计体积和质量变化, 大气压强为  $P_0$ . 求冻结后肥皂膜内外气体的压强差.

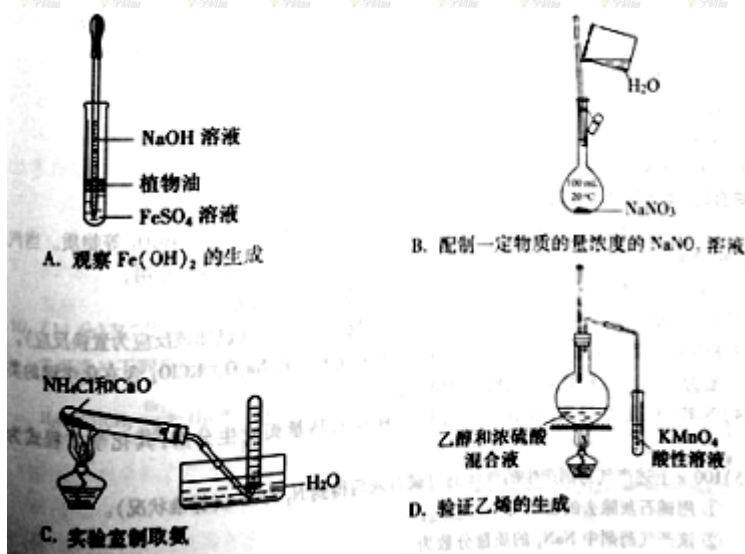


D.  $\text{SO}_2$  和  $\text{SO}_3$  混合气体通入  $\text{Ba}(\text{NO}_3)_2$  溶液可得到  $\text{BaSO}_3$  和  $\text{BaSO}_4$

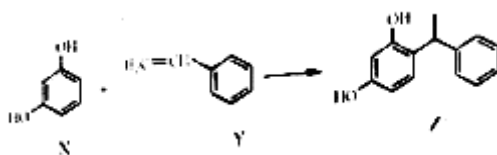
3. 下列说法正确的是

- A. 稀醋酸中加入少量醋酸钠能增大醋酸的电离程度
- B.  $25^\circ\text{C}$  时, 等体积等浓度的硝酸与氨水混合后, 溶液  $\text{pH}=7$
- C.  $25^\circ\text{C}$  时,  $0.1\text{mol L}^{-1}$  的硫化氢溶液比等浓度的硫化钠溶液的导电能力弱
- D.  $0.1\text{mol AgCl}$  和  $0.1\text{mol AgI}$  混合后加入 1L 水中, 所得溶液中  $c(\text{Cl}^-)=c(\text{I}^-)$

4. 下列实验中, 所使用的装置(夹持装置略)、试剂和操作方法都正确的是



5. 某化妆品的组分 Z 具有美白功效, 原从杨树中提取, 现可用如下反应制备:



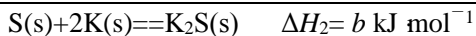
下列叙述错误的是

- A. X、Y 和 Z 均能使溴水褪色
- B. X 和 Z 均能与  $\text{NaHCO}_3$  溶液反应放出  $\text{CO}_2$
- C. Y 既能发生取代反应, 也能发生加成反应
- D. Y 可作加聚反应单体, X 可作缩聚反应单体

6. 黑火药是中国古代的四大发明之一, 其爆炸的热化学方程式为:



已知硫的燃烧热  $\Delta H_1 = a \text{ kJ mol}^{-1}$



则  $x$  为

- A.  $3a+b-c$       B.  $c+3a-b$       C.  $a+b-c$       D.  $c+a-b$

7. 羰基硫(COS)可作为一种熏蒸剂,能防止某些昆虫、线虫和霉变的危害。在恒容密闭容器中,将CO和H<sub>2</sub>S混合加热并达到下列平衡:



反应前CO的物质的量为10mol,平衡后CO物质的量为8mol,下列说法正确的是

- A. 升高温度, H<sub>2</sub>S浓度增加, 表明该反应是吸热反应  
 B. 通入CO后, 正反应速率逐渐增大  
 C. 反应前H<sub>2</sub>S物质的量为7mol  
 D. CO的平衡转化率为80%

重庆理综大题

二、综合题(本大题共4小题,共58分)

8. (15分) 某汽车安全气囊的产气药剂主要含有NaN<sub>3</sub>、Fe<sub>2</sub>O<sub>3</sub>、KClO<sub>4</sub>、NaHCO<sub>3</sub>等物质。当汽车发生碰撞时,产气药剂产生大量气体使气囊迅速膨胀,从而起到保护作用。

(1) NaN<sub>3</sub>是气体发生剂,受热分解产生N<sub>2</sub>和Na, N<sub>2</sub>的电子式为\_\_\_\_\_

(2) Fe<sub>2</sub>O<sub>3</sub>是主氧化剂,与Na反应生成的还原产物为\_\_\_\_\_ (已知该反应为置换反应)。

(3) KClO<sub>4</sub>是助氧化剂,反应过程中与Na作用生成KCl和Na<sub>2</sub>O, KClO<sub>4</sub>含有化学键的类型为\_\_\_\_\_, K的原子结构示意图为\_\_\_\_\_。

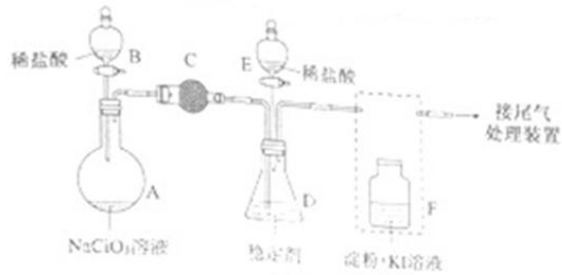
(4) NaHCO<sub>3</sub>是冷却剂,吸收产气过程中释放的热量而发生分解,其化学方程式为\_\_\_\_\_。

(5) 100g上述产气药剂产生的气体通过碱石灰后得到N<sub>2</sub> 33.6L (标准状况)。

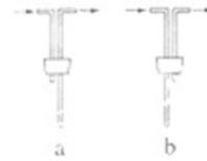
①用碱石灰除去的物质为\_\_\_\_\_;

②该产气药剂中NaN<sub>3</sub>的质量分数为\_\_\_\_\_。

9. (15分) ClO<sub>2</sub>与Cl<sub>2</sub>的氧化性相近。在自来水消毒和果蔬保鲜等方面应用广泛。某兴趣小组通过题9图1装置(夹持装置略)对其制备、吸收、释放和应用进行了研究。

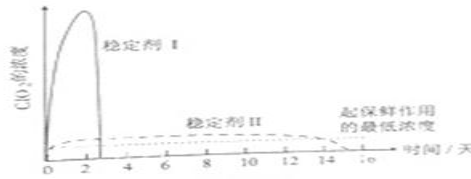


题9图1



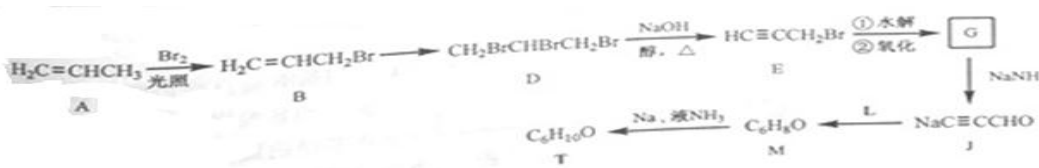
题9图2

- 仪器D的名称是。安装F中导管时，应选用题9图2中的\_\_\_\_\_。
- 打开B的活塞，A中发生反应： $2\text{NaClO}_3 + 4\text{HCl} = 2\text{ClO}_2\uparrow + \text{Cl}_2\uparrow + 2\text{NaCl} + 2\text{H}_2\text{O}$ 。  
为使 $\text{ClO}_2$ 在D中被稳定剂充分吸收，滴加稀盐酸的速度宜\_\_\_\_\_（填“快”或“慢”）。
- 关闭B的活塞， $\text{ClO}_2$ 在D中被稳定剂完全吸收生成 $\text{NaClO}_2$ ，此时F中溶液的颜色不变，则装置C的作用是\_\_\_\_\_。
- 已知在酸性条件下 $\text{NaClO}_2$ 可发生反应生成 $\text{NaCl}$ 并释放出 $\text{ClO}_2$ ，该反应的离子方程式为\_\_\_\_\_，在 $\text{ClO}_2$ 释放实验中，打开E的活塞，D中发生反应，则装置F的作用是\_\_\_\_\_。
- 已吸收 $\text{ClO}_2$ 气体的稳定剂I和II，加酸后释放 $\text{ClO}_2$ 的浓度随时间的变化如题9图3所示，若将其用于水果保鲜，你认为效果较好的稳定剂是，原因是\_\_\_\_\_。



题9图3

10. (14分) 某“化学鸡尾酒”通过模拟臭虫散发的聚集信息素可高效诱捕臭虫，其中一种组分T可通过下列反应路线合成（部分反应条件略）。



- A的化学名称是，A→B新生成的官能团是\_\_\_\_\_；
- D的核磁共振氢谱显示峰的组数为\_\_\_\_\_。
- D→E的化学方程式为\_\_\_\_\_。
- G与新制的 $\text{Cu}(\text{OH})_2$ 发生反应，所得有机物的结构简式为\_\_\_\_\_。
- L可由B与 $\text{H}_2$ 发生加成反应而得，已知 $\text{R}_1\text{CH}_2\text{Br} + \text{NaC}\equiv\text{CR}_2 \rightarrow \text{R}_1\text{CH}_2\text{C}\equiv\text{CR}_2$ ，则M得结构简式为\_\_\_\_\_。
- 已知 $\text{R}_3\text{C}\equiv\text{CR}_4 \xrightarrow[\text{液氨}]{\text{Na}}$   $\begin{array}{c} \text{R}_3 \\ | \\ \text{C} \\ | \\ \text{H} \end{array} = \begin{array}{c} \text{H} \\ | \\ \text{C} \\ | \\ \text{R}_4 \end{array}$ ，则T的结构简式为\_\_\_\_\_。

11. (14分) 我国古代青铜器工艺精湛, 有很高的艺术价值和历史价值, 但出土的青铜器因受到环境腐蚀, 欲对其进行修复和防护具有重要意义。

(1) 原子序数为 29 的铜元素位于元素周期表中第\_\_\_\_\_周期。

(2) 某青铜器中 Sn、Pb 的质量分别为 119g、20.7g, 则该青铜器中 Sn 和 Pb 原子数目之比为\_\_\_\_\_。

(3) 研究发现, 腐蚀严重的青铜器表面大都存在 CuCl。关于 CuCl 在青铜器腐蚀过程中的催化作用, 下列叙述正确的是\_\_\_\_\_。

- A. 降低了反应的活化能    B. 增大了反应的速率  
C. 降低了反应的焓变      D. 增大了反应的平衡常数

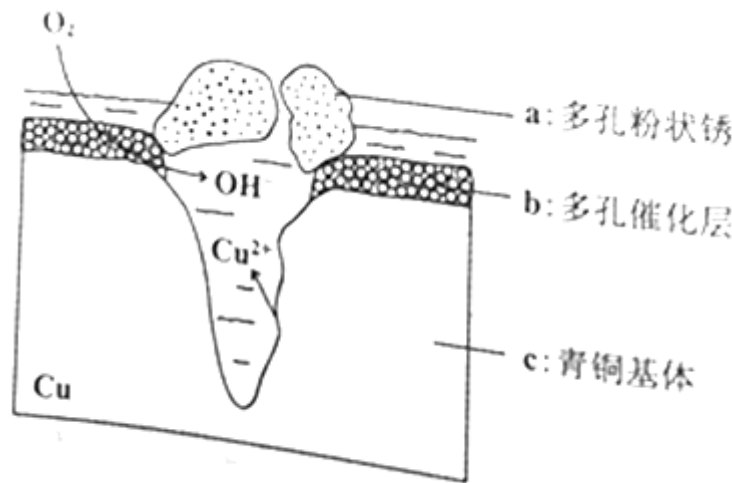
(4) 采用“局部封闭法”可以防止青铜器进一步被腐蚀。如将糊状 Ag<sub>2</sub>O 涂在被腐蚀部位, Ag<sub>2</sub>O 与有害组分 CuCl 发生复分解反应, 该化学方程式为\_\_\_\_\_。

(5) 题 11 图为青铜器在潮湿环境中发生的电化学腐蚀的示意图。

① 腐蚀过程中, 负极是\_\_\_\_\_ (填图中字母“a”或“b”或“c”);

② 环境中的 Cl<sup>-</sup> 扩散到孔口, 并与正极反应产物和负极反应产物作用生成多孔铜锈 Cu<sub>2</sub>(OH)<sub>3</sub>Cl, 其离子方程式为\_\_\_\_\_;

③ 若生成 4.29g Cu<sub>2</sub>(OH)<sub>3</sub>Cl, 则理论上耗氧体积为\_\_\_\_\_ L (标准状况)。



题 11 图

## 2015 年普通高等学校招生全国统一考试 理综生物部分 (重庆卷)

1. 比较胚胎干细胞与胰腺腺泡细胞, 相同的是

- A. 线粒体的功能  
B. 发育的全能性  
C. 膜蛋白的种类和数量  
D. 内质网上核糖体的数量

2. 我国古代劳动人民积累的丰富农业生产经验, 至今许多仍在实践中应用。下列叙述与植物激素作用无直接关系的是

- A. 适时打顶去心，可促植株开花结实。(据《农桑辑要》)  
 B. 肥田之活，种绿豆最佳，小豆、芝麻次之。(据《齐民要术》)  
 C. 正月种白稻，五月收获后，根茬长新稻，九月又成熟。(据《日志》)  
 D. 前摘未熟红柿，每篮放木瓜两三枚，得气即发，涩味尽失。(据《格物粗谈》)
3. 下表为某人血液化验的两项结果：

项目	测定值	参考范围	单位
甲状腺激素	10.0	3.1 - 6.8	pmol/L
胰岛素	1.7	5.0 - 20.0	mIU/L

据此分析，其体内最可能发生的是

- A. 神经系统的兴奋性降低  
 B. 血糖含量低于正常  
 C. 促甲状腺激素分泌减少  
 D. 组织细胞摄取葡萄糖加速
4. 将题 4 图所示细胞置于密闭容器中培养。在不同光照强度下细胞内外的  $CO_2$  和  $O_2$  浓度在短时间内发生了相应变化。下列叙述错误的是



题 4 图 适宜条件下悬浮培养的水melon叶肉细胞示意图

- A. 黑暗条件下，①增大、④减小  
 B. 光强低于光补偿点时，①、③增大  
 C. 光强等于光补偿点时，②、③保持不变  
 D. 光强等于光饱和点时，②减小、④增大
5. 结合题 5 图分析，下列叙述错误的是



题 5 图

- A. 生物的遗传信息储存在 DNA 或 RNA 的核苷酸序列中  
 B. 核苷酸序列不同的基因可表达出相同的蛋白质  
 C. 遗传信息传递到蛋白质是表现型实现的基础  
 D. 编码蛋白质的基因含遗传信息相同的两条单链

6. 下列有关人胰岛素基因表达载体的叙述, 正确的是

- A. 表达载体中的胰岛素基因可通过人肝细胞 mRNA 反转录获得
- B. 表达载体的复制和胰岛素基因的表达均启动于复制原(起)点
- C. 借助抗生素抗性基因可将含胰岛素基因的受体细胞筛选出来
- D. 启动子和终止密码子均在胰岛素基因的转录中起作用

7. (10分) 2014年埃博拉病在非洲蔓延, 我国派出医疗队首次在境外组建医院, 帮助治疗埃博拉疫情。

(1) 研究表明, 埃博拉病毒侵入机体后, 通过靶向感染、破坏吞噬细胞等, 使其不能暴露病毒的\_\_\_\_\_, 以致感染信息不能呈递给\_\_\_\_\_, 从而正常激活细胞免疫和体液免疫应答过程, 导致机体对该病毒的\_\_\_\_\_免疫功能下降。因此, 病毒在体内快速增殖、致病。

(2) 对志愿者接种埃博拉试验疫苗后, 机体免疫系统能产生相应抗体, 还能产生的免疫细胞有\_\_\_\_\_。

(3) 用埃博拉病毒的某种蛋白免疫小鼠, 通过\_\_\_\_\_技术获得杂交瘤细胞, 用于生产单克隆抗体治疗该病。

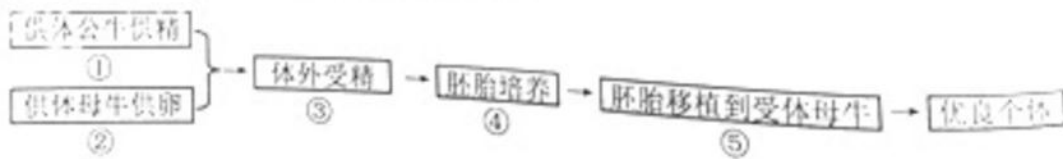
8. (20分) 某课题组为解决本地种奶牛产奶量低的问题, 引进了含高产奶基因但对本地适应性差的纯种公牛。

(1) 拟进行如下杂交:

♂A (具高产奶基因的纯种) × ♀B (具适宜本地生长基因的纯种) → C

选择B作为母本, 原因之一是胚胎能在母体内正常\_\_\_\_\_。若C中的母牛表现为适宜本地生长, 但产奶量并未提高, 说明高产奶是\_\_\_\_\_性状。为获得产奶量高且适宜本地生长的母牛, 根据现有类型, 最佳杂交组合是\_\_\_\_\_, 后代中出现这种母牛的概率是\_\_\_\_\_ (假设两对基因分别位于不同对常染色体上)。

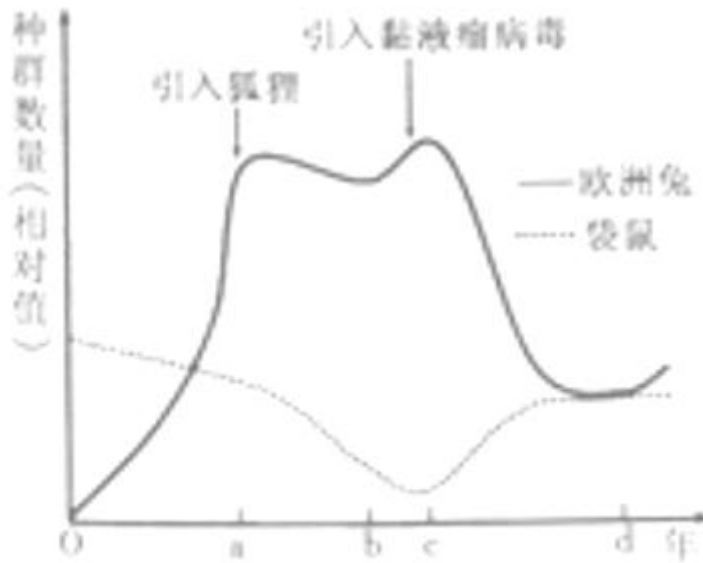
(2) 用以上最佳组合, 按以下流程可加速获得优良个体。



精子要具有受精能力, 需对其进行\_\_\_\_\_处理; 卵子的成熟在过程\_\_\_\_\_中完成。在过程④的培养基中含有葡萄糖, 其作用是\_\_\_\_\_。为筛选出具有优良性状的母牛, 过程⑤前应鉴定胚胎的\_\_\_\_\_。子代母牛的优良性状与过程\_\_\_\_\_的基因重组有关。

(3) 为了提高已有胚胎的利用率, 可采用\_\_\_\_\_技术。

9. (10分) 欧洲兔曾被无意携入澳洲大草原, 对袋鼠等本地生物造成极大威胁。据题9图回答下列问题:



题9图 欧洲兔和袋鼠种群数量变化示意图

(1) 0 (起始年) → a 年, 欧洲兔种群数量每年以一定的倍数 ( $\lambda$ ) 增长。若起始年种群数量为 24 只, 则 a 年种群数量  $N_a =$  \_\_\_\_\_; 若不加以防治, 将导致该草原生态系统的 \_\_\_\_\_ 锐减。

(2) a 年引入狐狸防治兔灾。据 a → b 年欧洲兔和袋鼠数量的变化推测: 狐狸和袋鼠的种间关系为 \_\_\_\_\_。

(3) c 年控制狐狸数量, 并引入仅对欧洲兔致使的黏液瘤病毒后, 草原生态系统逐渐恢复稳定。这体现了生态系统具有自我调节能力, 其调节方式是 \_\_\_\_\_。

(4) d 年后, 欧洲兔种群数量回升, 最可能的原因是 \_\_\_\_\_。

10. (14 分) 小麦的穗发芽影响其产量和品质。某地引种的红粒小麦的穗发芽率明显低于当地白粒小麦。为探究淀粉酶活性与穗发芽率的关系, 进行了如下实验。

(1) 取穗发芽时间相同、质量相等的红、白粒小麦种子, 分别加蒸馏水研磨、制成提取液 (去淀粉), 并在适宜条件下进行实验。实验分组、步骤及结果如下:

步骤	分 组			
	红粒管	白粒管	对照管	
①	加样	0.5mL 提取液	0.5mL 提取液	C
②	加缓冲液 (mL)	1	1	1
③	加淀粉溶液 (mL)	1	1	1
④	37℃ 保温适当时间, 终止酶促反应, 冷却至常温, 加适量碘液显色			
	显色结果	+++	+	+++++

注: “+” 数目越多表示蓝色越深

步骤①中加入的 C 是 \_\_\_\_\_, 步骤②中加缓冲液的目的是 \_\_\_\_\_。显色结果表明: 淀粉酶活性较低的品种是 \_\_\_\_\_; 据此推测: 淀粉酶活性越低, 穗发芽率越 \_\_\_\_\_。若步骤③中的淀粉溶液浓度适当减小, 为保持显色结果不变, 则保温时间应 \_\_\_\_\_。

(2) 小麦淀粉酶包括  $\alpha$ -淀粉酶和  $\beta$ -淀粉酶, 为进一步探究其活性在穗发芽率差异中的作用, 设计了如下实验方案:

- I. 红粒管、白粒管各加入相应提取液 0.5mL → 使  $\alpha$ -淀粉酶失活
- II. 红粒管、白粒管各加入相应提取液 0.5mL → X 处理
- 如上法实验操作并显色测定

X 处理的作用是使\_\_\_\_\_。若 I 中两管显色结果无明显差异，且 II 中的显色结果为红粒管颜色显著\_\_\_\_\_白粒管（填“深于”或“浅于”），则表明  $\alpha$ -淀粉酶活性是引起这两种小麦穗发芽率差异的主要原因。